

ベクトル計算機における S O R 的方法の効率について

杉原正聰，小柳義夫，森正武
筑波大学 電子・情報工学系

偏微分方程式の差分化によつて得られる方程式を解く場合、ベクトル計算機上で S O R 法を单纯に実行せよとした S O R 法に似てはいるが本来の S O R 法とは異なる方法である。本論文では、この S O R 的方法の効率を論ずる。特に、理論、実験的面から、これが S O R 的方法か S O R 法と比べてどうかとを指摘する（ S O R 的方法をベクトル計算機上で動かしていく）。また、最適加速パラメータの値が両方法で大きく異なることを示す。

On the efficiency of an SOR-like method suited to vector processors

Masaaki SUGIHARA, Yoshio OYANAGI and Masatake MORI

Institute of Information Sciences and Engineering, University of Tsukuba
Sakura, Niihari, Ibaraki 305, Japan

A simple implementation on vector processors of the SOR method for solving linear system of equations arising from the discretization of partial differential equations makes the SOR method into another, which, though, looks like the SOR method. In this paper the efficiency of this SOR-like method is investigated. Specifically it is demonstrated theoretically and practically that the SOR-like method is less than the SOR method in efficiency, even if the former is used on vector processors. It is also shown that the optimum relaxation factor of the SOR-like method is entirely different from that of the SOR method.

1.はじめに（問題提起）

Poisson方程式などを差分法によって離散化することによって得られる連立一次方程式をSOR法を用いてベクトル計算機で解く場合、hyperplane法と呼ばれているようなベクトル計算機専用のALGOL言語がよく知られている。しかし、ベクトル計算機で単純化（この意味は、後に正確と記す）SOR法を実行させることも考えられる（現実に、このような方法が使用されていることもあるようである）。しかし、この方法は、本来のSOR法とは異なる方法になる（hyperplane法はそのようないことはない）。ここでは、このSOR的方の効率を、本来のSOR法と比較して、論ずる。

まず、初めに、先にSOR的方法といふ方法を明確にしておく。ただし、最も簡単な場合についてのみ記す。

今、単位正方形域 Ω で、次の Dirichlet 問題を、差分法で解くことを考える。

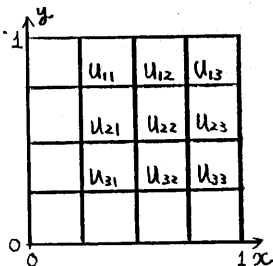
$$(1) \quad \frac{\partial^2 u}{\partial x^2} + \frac{\partial^2 u}{\partial y^2} = 0 \quad (x, y) \in \Omega, \quad u(x, y) = \varphi(x, y) \quad (x, y) \in \partial\Omega.$$

このとき、初めに、単位正方形域 Ω を N^2 等分し、格子点ににおける u の値を名をつける（右図参照）。そして、方程式(1)を差分近似（5点、9点）し、 U_{ij} を未知数とする連立一次方程式を立てて。今、この一次方程式をSOR法を用いて解くとする。このとき、SOR法のプログラムの主要部は次のようになる（…）は9点差分の場合）。

```

Do 10 I=1,N-1
    Do 20 J=1,N-1
        U(I,J)=U(I,J)+W(1/4*(U(I,J-1)+U(I,J+1)+U(I-1,J)+U(I+1,J))-U(I,J))
    20 CONTINUE
10 CONTINUE
    ( +W(1/5*(U(I,J-1)+U(I,J+1)+U(I-1,J)+U(I+1,J)))
    1/20*(U(I+1,J-1)+U(I+1,J+1)+U(I-1,J-1)+U(I-1,J+1))-U(I,J)) )

```



このプログラムは、このままではベクトル化できない。そこで、この部分をベクトル化可能な次のようないくつかの変形が考へられる。

```

Do 10 I=1,N-1
    Do 20 J=1,N-1
        V(J)=U(I,J)+ W(1/4*(U(I,J-1)+U(I,J+1)+U(I-1,J)+U(I+1,J))-U(I,J))
    20 CONTINUE
    Do 30 J=1,N-1
        U(I,J)=V(J)
    30 CONTINUE
10 CONTINUE

```

（9点差分の場合も同様）

このプログラムに記述された連立一次方程式の解法が、先にSOR的方法と言ふ方法である。この方法は、明らかに、本来のSOR法とは異なるものである。従って、本来のSOR法に関する議論は、そのままでは通用しない。そこで、以下、このSOR的方法を擬SOR法と呼ぶことにし、その性質（最適加速パラメータの値やその値を用いた時の収束の速さ等）を調べることにする。

まず、2.において5点差分近似を用いた場合のSOR法、擬SOR法の解析を行ない。3.において9点差分近似の場合を解析する。

2. 5点差分近似を用いた場合のSOR法と擬SOR法

2.1 SOR法, 擬SOR法の収束の行列表現

まず解くべき方程式の行列表現は、 $\mathbf{U} = (U(1,1), U(1,2), \dots, U(1,N-1), U(2,1), U(2,2), \dots, U(2,N-1), \dots, U(N-1,1), U(N-1,2), \dots, U(N-1,N-1))'$ と未知数を並べて置き、次のようになる。

$$A_5 \mathbf{U} = \mathbf{b} \quad A_5 = \begin{pmatrix} B_5 & C_5 & & & \\ C_5 & B_5 & C_5 & & \\ & C_5 & \ddots & \ddots & \\ & & \ddots & C_5 & B_5 \\ 0 & & & B_5 & C_5 \end{pmatrix}_{N-1 \text{ ブロック}} \quad B_5 = \begin{pmatrix} 1 & -\frac{1}{4} & & & 0 \\ -\frac{1}{4} & 1 & -\frac{1}{4} & & \\ & 0 & \ddots & \ddots & -\frac{1}{4} \\ & & \ddots & \ddots & 1 \end{pmatrix}_{N-1} \quad C_5 = \begin{pmatrix} -\frac{1}{4} & & & & 0 \\ -\frac{1}{4} & -\frac{1}{4} & & & \\ 0 & & \ddots & & -\frac{1}{4} \\ & & & \ddots & \end{pmatrix}_{N-1}$$

これから、SOR法、擬SOR法の収束は、次のようになる表現出来ることわかる。

《SOR法》

$$\mathbf{U}^{(m+1)} = (I - \omega L_5^{\text{SOR}})^{-1} ((1-\omega)I + \omega U_5^{\text{SOR}}) \mathbf{U}^{(m)} + \mathbf{b}' \quad (= d_5^{\text{SOR}}(\omega) \mathbf{U}^{(m)} + \mathbf{b}' \text{を略記})$$

$$L_5^{\text{SOR}} = \begin{pmatrix} -B_5^L & & & & \\ -C_5 & -B_5^L & & & \\ 0 & & \ddots & & \\ & -C_5 & -B_5^L & & \\ & & & \ddots & \end{pmatrix} \quad U_5^{\text{SOR}} = \begin{pmatrix} -B_5^U & -C_5 & & & 0 \\ -B_5^U & -C_5 & & & \\ 0 & & \ddots & & \\ & & & -C_5 & \\ & & & & -B_5^U \end{pmatrix} \quad B_5^L = \begin{pmatrix} 0 & & & & 0 \\ -\frac{1}{4} & 0 & & & \\ 0 & & \ddots & & \\ & & & -\frac{1}{4} & 0 \end{pmatrix} \quad B_5^U = \begin{pmatrix} 0 & -\frac{1}{4} & & & 0 \\ 0 & -\frac{1}{4} & & & \\ 0 & & \ddots & & -\frac{1}{4} \\ & & & -\frac{1}{4} & 0 \end{pmatrix}$$

《擬SOR法》

$$\mathbf{U}^{(m+1)} = (I - \omega L_5^{\text{P-SOR}})^{-1} ((1-\omega)I + \omega U_5^{\text{P-SOR}}) \mathbf{U}^{(m)} + \mathbf{b}'' \quad (= d_5^{\text{P-SOR}}(\omega) \mathbf{U}^{(m)} + \mathbf{b}'' \text{を略記})$$

$$L_5^{\text{P-SOR}} = \begin{pmatrix} 0 & & & & 0 \\ -C_5 & 0 & & & \\ 0 & & \ddots & & \\ & -C_5 & 0 & & \\ & & & \ddots & 0 \end{pmatrix} \quad U_5^{\text{P-SOR}} = \begin{pmatrix} (-B_5^L - B_5^U) & -C_5 & & & 0 \\ (-B_5^L - B_5^U) & -C_5 & & & \\ 0 & & \ddots & & -C_5 \\ & & & (-B_5^L - B_5^U) & \end{pmatrix}$$

2.2 ω を変化したときの $\rho(d_5^{\text{SOR}}(\omega)), \rho(d_5^{\text{P-SOR}}(\omega))$ の変化 ($\rho(A)$ は行列 A のスペクトル半径を表す)

$N=6$ の場合 κ , $d_5^{\text{SOR}}(\omega)$, $d_5^{\text{P-SOR}}(\omega)$ の固有値を数値的に調べたところによると、たとえば ω の値を変化するとき $\rho(d_5^{\text{SOR}}(\omega)), \rho(d_5^{\text{P-SOR}}(\omega))$ の値を調べた。結果を図1に示す。

この図から次のようになることがわかる。

- (1) 擬SOR法の最適加速パラメータは、SOR法の最適加速パラメータよりかなり大きい。
- (2) 擬SOR法の最適加速パラメータを用いた時の収束率は、SOR法の最適加速パラメータを用いた時の収束率よりかなりある。
- (3) 擬SOR法においては、加速パラメータの選択を誤ると、収束が収束しない（発散する）場合が起こる。

ここで述べた(1)(2)(3)は、 $N=6$ 以外の場合にも一般的にいえる。

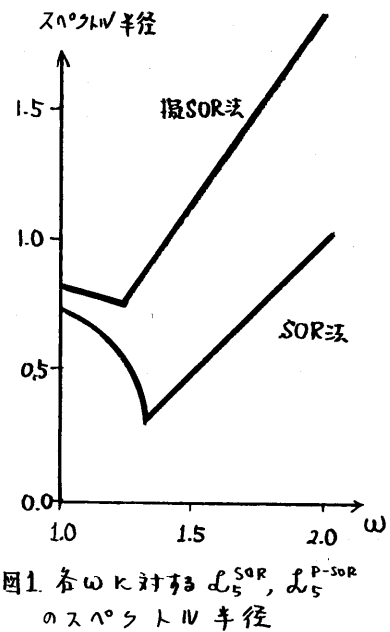


図1. 各 ω に対する d_5^{SOR} , $d_5^{\text{P-SOR}}$ のスペクトル半径

2.3 最適加速パラメータの決定(理論的)

最適加速パラメータ(収束行列のスペクトル半径が最小となるようなる ω の値)が、ここで考えていくような簡単な場合には、理論的に決定できます。以下の結果、および、その証明を記す。

(1)SOR法の場合

Varga: "Matrix Iterative Analysis," Prentice-Hall, New York (1962)に完全なる記述がある。擬SOR法との比較のために、結果を引用する。

$$\omega_{opt} \text{ (最適加速パラメータ)} = 2 / (1 + \sin(\frac{\pi}{N}))$$

$$\lambda_{opt} = \rho(L_5^{SOR}(\omega_{opt})) = \omega_{opt} - 1$$

漸近評価($N \rightarrow \infty$)

$$\omega_{opt} = 2 - \frac{2\pi}{N} + O(\frac{1}{N^2}), \quad \lambda_{opt} = 1 - \frac{2\pi}{N} + O(\frac{1}{N^2}).$$

(2)擬SOR法の場合

ω_{opt} : 連立方程式 $\begin{cases} 1 - (1 - \frac{1}{2} \cos(\frac{\pi}{N}))\omega - \lambda = -\frac{1}{2} \cos(\frac{\pi}{N})\omega\sqrt{\pi} \\ \lambda = (1 + \frac{1}{2} \cos(\frac{\pi}{N}))\omega - 1 \end{cases}$ の根として定まる。

$$\lambda_{opt}: (1 + \frac{1}{2} \cos(\frac{\pi}{N}))\omega_{opt} - 1 \text{ で与えられる}.$$

漸近評価($N \rightarrow \infty$)

$$\omega_{opt} = \frac{4}{3} - \frac{4}{9}(\frac{\pi}{N})^2 + O(\frac{1}{N^4}), \quad \lambda_{opt} = 1 - (\frac{\pi}{N})^2 + O(\frac{1}{N^4}).$$

Q: Jacobi法の収束行列のスペクトル半径 = $\cos \frac{\pi}{N} = 1 - \frac{1}{2}(\frac{\pi}{N})^2 + O(\frac{1}{N^4}) (N \rightarrow \infty)$

(ω_{opt} が上記のようになって与えられることを証明)

L_5^{P-SOR} の固有値をすべて求めることを考える。まず、 $L_5^{P-SOR}(\omega)$ の固有値を求める $\det(L_5^{P-SOR}(\omega) - \lambda I) = 0$ を解くこと)は、 $\det((1 - \omega - \lambda)I + \lambda \omega L_5^{P-SOR} + \omega U_5^{P-SOR}) = 0$ を解くことと帰着される。このことは

$$\begin{aligned} \det(L_5^{P-SOR}(\omega) - \lambda I) &= \det((1 - \omega L_5^{P-SOR})^{-1} ((1 - \omega)I + \omega U_5^{P-SOR}) - \lambda I) \\ &= (\det((1 - \omega L_5^{P-SOR}))^{-1} \cdot \det((1 - \omega - \lambda)I + \lambda \omega L_5^{P-SOR} + \omega U_5^{P-SOR})) \end{aligned}$$

であることより、明らかである。以下、方程式

$$\det((1 - \omega - \lambda)I + \lambda \omega L_5^{P-SOR} + \omega U_5^{P-SOR}) = 0$$

を考える。ここで、行列 $(1 - \omega - \lambda)I + \lambda \omega L_5^{P-SOR} + \omega U_5^{P-SOR}$ は、次のようないづれか重付角行列である:

$$\begin{pmatrix} E & F & 0 \\ \lambda F & E & F \\ 0 & \lambda F & E \end{pmatrix}, \quad E = \underbrace{\begin{pmatrix} 1-\omega-\lambda & \omega/4 & 0 \\ \omega/4 & 1-\omega-\lambda & \omega/4 \\ 0 & \omega/4 & 1-\omega-\lambda \end{pmatrix}}_{N-1 \text{ ブロック}}, \quad F = \underbrace{\begin{pmatrix} \omega/4 & 0 \\ 0 & \omega/4 \end{pmatrix}}_{N-1}$$

このことを注意して、次の補題を用いて、

《補題》

B, C を任意の n 次正方形行列とするとき、次の等式が成立する。

$$\det \begin{pmatrix} B & C & 0 \\ \lambda C & B & C \\ 0 & \lambda C & B \end{pmatrix} = \det \begin{pmatrix} B & \bar{\lambda}C & 0 \\ \bar{\lambda}C & B & \bar{\lambda}C \\ 0 & \bar{\lambda}C & B \end{pmatrix} = \prod_{j=1}^m \det(B + \delta_j \bar{\lambda}C) \quad \delta_j = 2 \cos \left(\frac{\pi j}{m+1} \right)$$

$\det((I - \omega - \lambda)I + \lambda \omega L_5^{P-SOR} + \omega U_5^{P-SOR}) = 0$ は、方程式族 $\det(E + \delta_j \sqrt{\lambda} F) = 0, \delta_j = 2 \cos(\frac{\pi j}{N})$ ($j=1, \dots, N-1$) と同値であることがわかる。ここで、 $E + \delta_j \sqrt{\lambda} F$ が 3 重対角行列であることに注意して、再度、 $\det(E + \delta_j \sqrt{\lambda} F) = 0$ の補題を適用する。このようにして、 $L_5^{P-SOR}(\omega)$ の固有値を求めるのと同様な次の連立方程式を得る。

$$(2) \quad 1 - (1 + \frac{\delta_k}{4})\omega - \lambda = \frac{\delta_k}{4} \sqrt{\lambda} \omega \quad (j=1, \dots, N-1, k=1, \dots, N-1)$$

次にこれらの方程式族の解 ($L_5^{P-SOR}(\omega)$ の固有値) に対して、次の命題が成立することを示す。

《命題》

(2) の方程式族の根 $\leq \max \{ 1 - (1 - \frac{1}{2} \cos(\frac{\pi}{N}))\omega - \lambda = -\frac{1}{2} \cos(\frac{\pi}{N}) \sqrt{\lambda} \omega$ の根の絶対値の最大値,

$$| (1 + \frac{1}{2} \cos(\frac{\pi}{N}))\omega - 1 | \}$$

この命題が証明されれば、 ω_{opt} が先に述べた連立方程式の根として定まることが明らかである(以下の命題の証明の初めの部分を参照)。

《命題の証明》

(2) の方程式族は、次のような形をして方程式の集まり (α, β が零なら) である。

$$(3) \quad \frac{1 - \alpha\omega - \lambda}{\omega} = I\beta\sqrt{\lambda} \quad (\Leftrightarrow \lambda^2 - (\beta^2\omega^2 + 2(1 - \alpha\omega))\lambda + (1 - \alpha\omega)^2 = 0)$$

$$(\alpha > 0, \beta \geq 0, \alpha > \beta)$$

方程式(3)の根 λ に対して、次のようないいことが成立する。

($\beta = 0$ の場合、(3)は一次方程式になるが、以下で、

2 実根 \Leftrightarrow 正根、共役複素根 \Leftrightarrow 虚根と対応づければ、得られる結果はすべて成立つ)

まず、 $\omega \in (0, \omega_1]$ に対する λ に対して、方程式(3)は 2 実根をもとし、 $\omega \in (\omega_1, \infty)$ に対する λ に対して、絶対値が $d\omega - 1$ で除えられた共役複素根をもつ(図2 参照)。ここで、容易にわかるように、 ω_1 は $2/(d + \sqrt{d^2 - \beta_1^2})$ で与えられる。今また $\omega \in (0, \omega_1]$ においては、根の絶対値の最大値は、 ω の増加に従って、単調に減少し、 $\omega \in (\omega_1, \infty)$ においては、 ω の増加に従って、単調に増加する ($|1/\alpha| \leq \omega_1 = 2/(d + \sqrt{d^2 - \beta_1^2})$ を注意せよ)。

以上のことから明らかのように、(2)の方程式の共役複素根の絶対値は、 $(1 + \frac{2}{4} \cos(\frac{\pi}{N}))\omega - 1$ 以下である($2 \cos(\frac{\pi}{N})$ は、 δ_k の最大値)。そこで、次に、2 実根について詳細に解析する。

今、以が一定で β の零なら 2 つの方程式 ($\alpha = d_0, \beta = \beta_1$ なる方程式と、 $\alpha = d_0, \beta = \beta_2 > \beta_1$ なる方程式) の実根について考える。このとき、図3 から明らかなように、 $\alpha = d_0, \beta = \beta_1$ なる方程式が実根をもつが逆に、 $\alpha = d_0, \beta = \beta_2$ なる方程式は実根をもと、かつ、 $\alpha = d_0, \beta = \beta_2$ なる方程式の絶対値最大の根は、 $\alpha = d_0, \beta = \beta_1$ なる方程式の絶対値最大の根よりおむね大きい。

次に、 β が一定で d の零なら 2 つの方程式 ($d = d_1, \beta = \beta_0$ なる方程式と、 $d = d_2 > d_1, \beta = \beta_0$ なる方程式) の実根について考える。このとき、図4 から明らかな

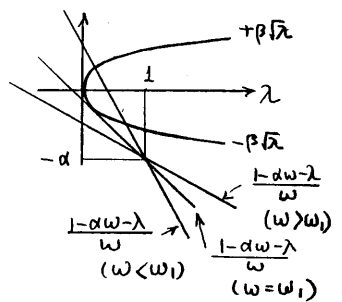


図2

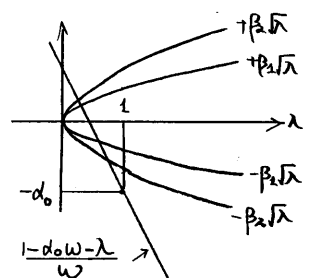


図3

よしに、 $\alpha = \alpha_2, \beta = \beta_0$ なる方程式が実根をもつから
 $\alpha = \alpha_1, \beta = \beta_0$ なる方程式は実根をもつ、かゝる。 $\alpha = \alpha_1$
 $\beta = \beta_0$ の方程式の絶対値最大の根は、 $\alpha = \alpha_2, \beta = \beta_0$ なる
 方程式の絶対値最大の根よりつねに大きくなる。

以上の実根に関する考察により、(3)の方程式の実根の絶対値は、 α が最小で β が最大の (3)の方程式の絶対値最大の根よりつねに小さくなることがわかる。つまり、(2)の実根は、 $1 - (1 - \frac{1}{2} \cos(\frac{\pi}{N}))\omega - \lambda = -\frac{1}{2} \cos(\frac{\pi}{N})\omega \sqrt{\lambda}$ の根の絶対値の最大値より小さいことがわかる。

以上で、命題の証明は完成した。 ■

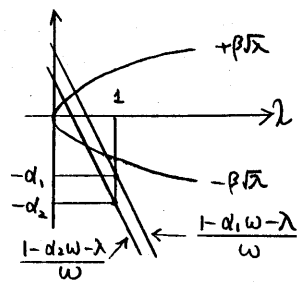


図4

2.4 数値例

境界条件が次で与えられるような Dirichlet 問題：

$$u(0, y) = 0, \quad u(1, y) = 0, \\ u(x, 0) = 0, \quad u(x, 1) = \frac{1}{2} - |x - \frac{1}{2}|$$

を差分化 ($N = 6$) した連立一次方程式を SOR 法と擬SOR 法で解いた時の、残差の Max-Norm の変化を図5に示す(初期値 $u^{(0)} = 0$ とした)

この図から、2.2 で述べた (1)(2)(3) が確認される。より大きな N に対する数値実験結果においても、2.2 で述べた (1)(2)(3) が確認される(結果をここに記すことないが)

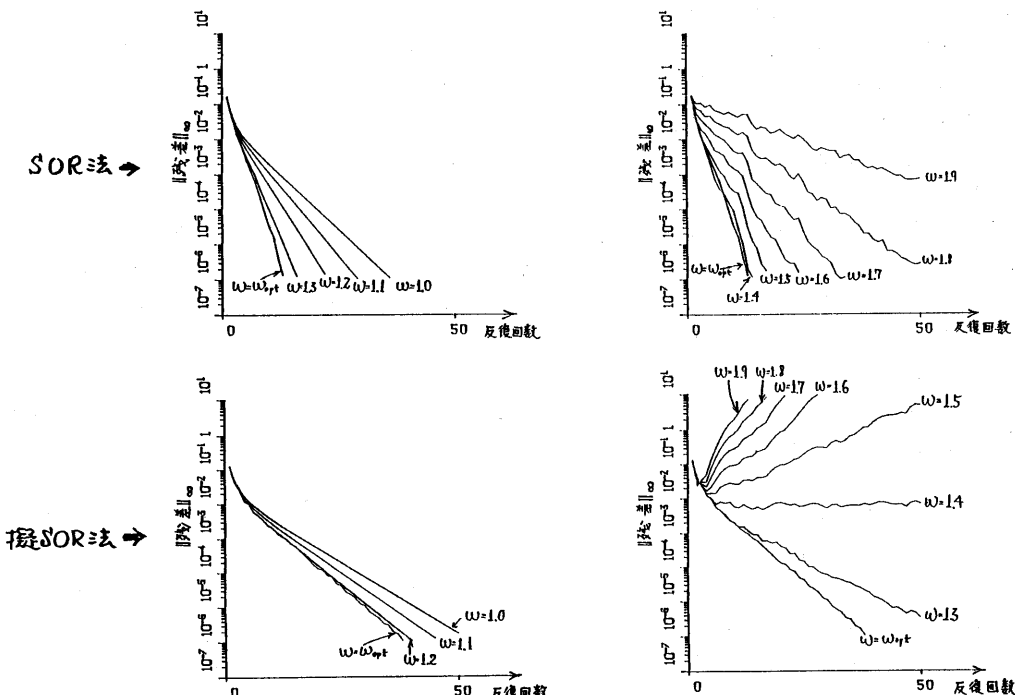


図5. SOR法, 擬SOR法における残差のMax-Normの変化(5点差分近似)

3. 9点差分近似を用いた場合のSOR法と擬SOR法

3.1 SOR法, 擬SOR法の反復の行列表現

まず解くべき方程式の行列表現は、次のようになる。

$$A_9 \mathbf{u} = \mathbf{b} \quad A_9 = \begin{pmatrix} B_9 & C_9 & 0 \\ C_9 & B_9 & C_9 \\ 0 & C_9 & B_9 \end{pmatrix} \quad B_9 = \begin{pmatrix} 1 & -\frac{1}{5} & 0 \\ -\frac{1}{5} & 1 & -\frac{1}{5} \\ 0 & -\frac{1}{5} & 1 \end{pmatrix} \quad C_9 = \begin{pmatrix} -\frac{1}{5} & -\frac{1}{20} & 0 \\ -\frac{1}{20} & -\frac{1}{5} & -\frac{1}{20} \\ 0 & -\frac{1}{20} & -\frac{1}{5} \end{pmatrix}$$

また、SOR法、擬SOR法の反復は、次のように行列表現で表すことができる。

《SOR法》

$$\mathbf{U}^{(m+1)} = (\mathbf{I} - \omega L_9^{\text{SOR}})^{-1} ((1-\omega)\mathbf{I} + \omega U_9^{\text{SOR}}) \mathbf{U}^{(m)} + \mathbf{b}'' \quad (\equiv L_9^{\text{SOR}}(\omega) \mathbf{U}^{(m)} + \mathbf{b}'')$$

$$L_9^{\text{SOR}} = \begin{pmatrix} -B_9^L & -C_9 & 0 \\ -C_9 & -B_9^L & 0 \\ 0 & -C_9 & -B_9^L \end{pmatrix} \quad U_9^{\text{SOR}} = \begin{pmatrix} -B_9^U - C_9 & 0 \\ -B_9^U - C_9 & -C_9 \\ 0 & -B_9^U \end{pmatrix} \quad B_9^L = \begin{pmatrix} 0 & 0 \\ -\frac{1}{5} & 0 \\ 0 & -\frac{1}{5} \end{pmatrix} \quad B_9^U = \begin{pmatrix} 0 & -\frac{1}{5} & 0 \\ 0 & -\frac{1}{5} & 0 \\ 0 & 0 & -\frac{1}{5} \end{pmatrix}$$

《擬SOR法》

$$\mathbf{U}^{(m+1)} = (\mathbf{I} - \omega L_9^{\text{P-SOR}})^{-1} ((1-\omega)\mathbf{I} + \omega U_9^{\text{P-SOR}}) \mathbf{U}^{(m)} + \mathbf{b}'' \quad (\equiv L_9^{\text{P-SOR}}(\omega) \mathbf{U}^{(m)} + \mathbf{b}'')$$

$$L_9^{\text{P-SOR}} = \begin{pmatrix} 0 & 0 \\ -C_9 & 0 \\ 0 & -C_9 \end{pmatrix} \quad U_9^{\text{P-SOR}} = \begin{pmatrix} (-B_9^L - B_9^U) & -C_9 & 0 \\ (-B_9^L - B_9^U) & -C_9 & 0 \\ 0 & -C_9 & (-B_9^L - B_9^U) \end{pmatrix}$$

3.2 ω の変化に対する $P(L_9^{\text{SOR}}(\omega)), P(L_9^{\text{P-SOR}}(\omega))$

α 变化

$N=6$ の場合 K , $L_9^{\text{SOR}}(\omega)$, $L_9^{\text{P-SOR}}$ の固有値を数値的 K 調べることによると、各 ω の値に対する $P(L_9^{\text{SOR}}(\omega)), P(L_9^{\text{P-SOR}}(\omega))$ α 値を調べた。結果を図6に示す。

この図から、9点差分近似を用いた差分近似にF、得られた連立一次方程式にSOR法、擬SOR法を適用する場合においても、2.2で述べた(1)(2)(3)と同様のことと言えることがわかる。

また、 $N=6$ 以外の場合についても一般に同様のことと言える。

3.3 最適加速パラメータの決定(理論的)

1) SOR法の場合

種々の数値実験から、次のことがかなりの確実性をもつていえるようである(証明は未定)。

『 $\alpha = \cos(\frac{\pi}{N})$ とする。この時、 λ を因する4次方程式:

$$(1-\omega-\lambda)^4 - 2\alpha^2(8+\alpha^2) \cdot \left(\frac{\omega}{5}\right)^2 \lambda (1-\omega-\lambda)^2 + \alpha^8 \left(\frac{\omega}{5}\right)^4 \lambda^2 \\ + 16\alpha^4 \left(\frac{\omega}{5}\right)^3 \lambda (\lambda+1)(1-\omega-\lambda) - 4\alpha^6 \left(\frac{\omega}{5}\right)^4 \lambda (\lambda+1)^2 = 0$$

の実根の最大値と虚根の絶対値が一致する ω が ω_{opt} である。 λ_{opt} は、 $\omega = \omega_{\text{opt}}$

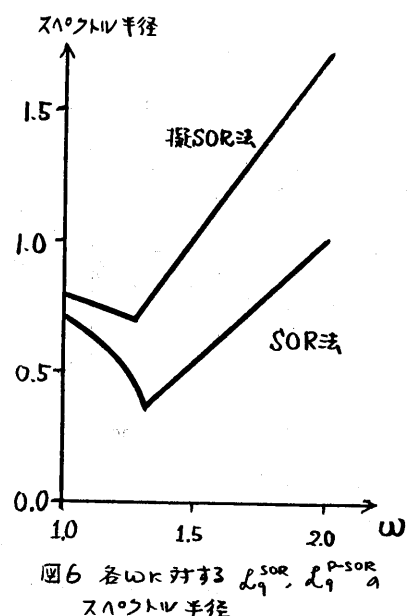


図6 各 ω に対する $L_9^{\text{SOR}}, L_9^{\text{P-SOR}}$ スペクトル半径

の時の入の4次方程式の実根の最大値をとる山3

漸近評価(実験式)

上記の「」が成立するとして、 $N \leq 1000$ について、 $\omega_{opt}, \lambda_{opt}$ を求めて、次の実験式を得た。

$$\omega_{opt} = 1 - \frac{6.63}{N}, \quad \lambda_{opt} = 1 - \frac{5.61}{N}$$

(上記の入の4次方程式の由来を簡単に記しておく)

2.3 の(2)で述べたと同様に、 $L_q^{SOR}(\omega)$ の固有値を求めるとき ($\det(L_q^{SOR}(\omega) - \lambda I) = 0$) を解くことは、 $\det((1-\omega-\lambda)I + \lambda \omega L_q^{SOR} + \omega U_q^{SOR}) = 0$ を解くことと帰着される。ここで、行列 $(1-\omega-\lambda)I + \lambda \omega L_q^{SOR} + \omega U_q^{SOR}$ の形を注意して、補題を2段階で用いて、 $\det((1-\omega-\lambda)I + \lambda \omega L_q^{SOR} + \omega U_q^{SOR})$ を分解する。斯くて、 $\det(L_q^{SOR}(\omega) - \lambda I) = 0$ と同値な方程式族 $1 - \omega - \lambda - d_1(\omega/5)\sqrt{\lambda} - d_K(\omega/5)\sqrt{(\lambda - (d_1/4)\sqrt{\lambda})(\lambda - (d_K/4)\sqrt{\lambda})} = 0$ が得られる。この方程式族のうちの $d_j = 2 \cos(\pi j/N)$, ($j=1, \dots, N-1$, $k=1, \dots, N-1$) を得る。これらの方程式族のうちの $(1 - \omega - \lambda \pm d_1(\omega/5) + d_1(\omega/5)\sqrt{(\lambda \pm (d_1/4)\sqrt{\lambda})(\lambda \pm (d_1/4)\sqrt{\lambda})}) = 0$ (複合因数) と $(1 - \omega - \lambda \pm d_1(\omega/5) - d_1(\omega/5)\sqrt{(\lambda \pm (d_1/4)\sqrt{\lambda})(\lambda \pm (d_1/4)\sqrt{\lambda})}) = 0$ (複合因数) が注目される。入の4次方程式が、「」の中にあらわれた入の4次方程式である。

(2) 擬SOR法の場合

$$\omega_{opt} : \text{連立方程式} \begin{cases} 1 - (1 - \frac{2}{5} \cos(\frac{\pi}{N}))\omega - \lambda = -\frac{\omega}{5} \cos(\frac{\pi}{N})(2 + \cos(\frac{\pi}{N}))\sqrt{\lambda} \\ \lambda = (1 + \frac{2}{5} \cos(\frac{\pi}{N}))\omega - 1 \end{cases}$$

の根として定まる。

$$\lambda_{opt} : (1 + \frac{2}{5} \cos(\frac{\pi}{N}))\omega_{opt} - 1$$

(証明は、5点差分近似の場合(2.3 (2)で述べた)とはほとんど同じである)

漸近評価($N \rightarrow \infty$)

$$\omega_{opt} = \frac{10}{7} - \frac{85}{98} \left(\frac{\pi}{N}\right)^2 + O\left(\frac{1}{N^4}\right), \quad \lambda_{opt} = 1 - \frac{3}{2} \left(\frac{\pi}{N}\right)^2 + O\left(\frac{1}{N^4}\right)$$

Q Jacobi 法の収束係数のスイートル半径 = $\frac{4}{5} \cos(\frac{\pi}{N}) + \frac{1}{5} (\cos(\frac{\pi}{N}))^2 = 1 - \frac{3}{5} \left(\frac{\pi}{N}\right)^2 + O\left(\frac{1}{N^4}\right)$
表1に實際の $\omega_{opt}, \lambda_{opt}$ を計算した結果を示す

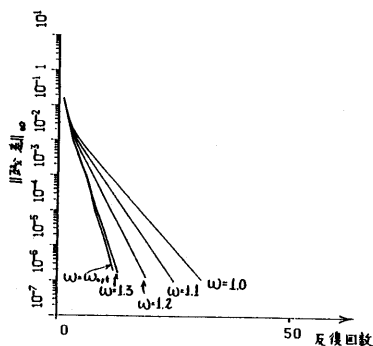
表1. ω_{opt} と λ_{opt} (右が ω_{opt} , 左が λ_{opt})

	SOR法(5点)		擬SOR法(5点)		SOR法(9点)		擬SOR法(9点)	
N=6	1.33333	0.33333	1.23431	0.76878	1.31393	0.37071	1.26184	0.69896
N=10	1.52786	0.52786	1.29285	0.90764	1.50902	0.56335	1.35459	0.86991
N=20	1.72945	0.72945	1.32259	0.97574	1.71627	0.75377	1.40799	0.96425
N=50	1.88183	0.88183	1.33158	0.99606	1.87542	0.89351	1.42517	0.99411
N=100	1.93909	0.93909	1.33289	0.99901	1.93567	0.94529	1.42772	0.99852
N=1000	1.99373	0.99373	1.33332	0.99999	1.99337	0.99439	1.42856	0.99999

3.4 数値例

5点差分近似の場合の数値例(2.4)で用いた Dirichlet 問題を用いて数値実験を行った。図7に、9点差分近似によつて得られた連立一次方程式にSOR法、擬SOR法を適用した時の残差の Max-Norm の変化を示す(N=6, 初期値 $u^{(0)} = 0$ とした)。

SOR法



擬SOR法

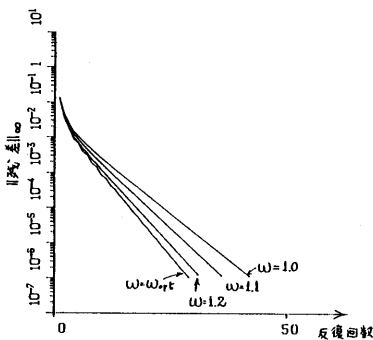


図7 SOR法, 擬SOR法における残差のMax-Normの変化(9点差分近似)

この図から、明らかのように、9点差分近似を用いた場合も、5点差分近似を用いた場合と同様のことと言えることがわかる。このことは、 $N=6$ 以外の場合にも同様である。

4.まとめ

以上が3次のようになりが言える(5点差分近、9点差分近似とも)

- (1) SOR法の漸近収束率は $1 - C/N$ であるに対して、擬SOR法の漸近収束率は $1 - C/N^2$ であり、Jacobi法の数倍である。従って、ベクトル計算機を使用して、擬SOR法を動かしても、本家のSOR法に比べて、効率がよいとはいえない。
- (2) 擬SOR法の ω_{opt} は、SOR法のそれとは、また全く異なる。また、SOR法の最適パラメータ($\approx 0.9\cdots$)を用いると、擬SOR法は発散してしまう。まとめとしては、「本家のSOR法でhyperplane法などを用いてベクトル計算機上で動かすことがよい」といえる。

且つベクトル計算機での実際の数値結果は、秦和当日々す。

↓下図は $\|r_k\|_\infty \leq 10^{-10}$ まで書いたもの

